

炭素同位体比を用いた森林土壤呼吸中の根呼吸の評価

Estimation of root respiration to a forest-floor CO₂ flux using carbon isotopes

蜂谷 真史^{1*}・森泉 純¹・山澤 弘実¹

M.Hachiya^{1*}, J.Moriizumi¹, H.Yamazawa¹

¹名大院・工(¹Graduated school of Engineering, Nagoya Univ.)

*Correspondence to: M.Hachiya; E-mail: hachiya-masashi09@ees.nagoya-u.ac.jp

Abstract

Efflux of soil respired carbon dioxide(CO₂) is very important component for the global carbon cycle and dynamics of ¹⁴C in environment, and to predict the global climate changes caused by increasing CO₂ concentrations in the atmosphere. There are two components that generate CO₂ in soil, soil organic matter decomposition and root respiration. Although the former is relatively well understood, the root-derived CO₂ efflux has not been evaluated sufficiently. The objective of our research is to estimate depth profile of the root respiration rate. Thus we developed a box model which calculates the depth profile. In this paper, we discussed about the adequacy of calculated result by comparing it to the observed soil respired CO₂ flux with trenching method.

The result showed that the depth profile of root respiration rate decreased with soil depth. This is attributed to the distribution of fine roots which dominate root respiration. And the estimation result of root respiration was almost equal to observed one.

Keywords: root respiration, soil respiration, carbon cycle, carbon isotope, global climate change

1 緒言

大気中に約 0.04% 存在する二酸化炭素（以下、CO₂）は、メタン、亜酸化窒素、フロンおよびハロンなどのハロカーボン類と同様に赤外線を吸収し、温室効果ガスと呼ばれる。大気中 CO₂ 濃度は約 200 年前から増え始め、現在では年間 1.8ppmv ずつ増加し続けている¹⁾。IPCC（気候変動に係わる政府間パネル）の第四次評価報告書によれば、温室効果ガスの地球温暖化への寄与割合は CO₂ が最も大きく約 63%、次いでメタンが 20%、フロンおよびハロンが 14%、亜酸化窒素が 6% であり、CO₂ が地球温暖化に最も寄与していると推定されている²⁾。

森林は大気中 CO₂ の吸収源および放出源としてその重要性が認識されている。原子力発電所や核燃料再処理施設から放出される放射性炭素同位体である ¹⁴C は大気中では主に ¹⁴CO₂ として存在し、CO₂ と同じような動態を示す。¹⁴C は 5730 年という半減期をもち、原子力利用に伴う大気中放出核種の中で最も集団線量に寄与すると考えられている³⁾。森林床中での CO₂ 生成源には土壤有機物分解と根呼吸があり、地球温暖化及び気候変動の将来予測のためにはそれら生成源ごとの定量評価が必要である。

既往研究では土壤有機物分解起源 CO₂ (以下、SOMD- CO₂) の同位体比が有機物自身の同位体比と

異なる、根呼吸の直接的な測定が困難である等の問題があった。そのためこれまで根呼吸を精度良く、定量的に評価することは困難であった。

本研究では、観測サイトでの土壤呼吸 CO_2 のフラックス、土壤中 CO_2 の濃度及びそれらの炭素同位体比の現地観測を行った。そして安定同位体比を考慮した土壤中 CO_2 輸送の一次元ボックスモデルを考案し、根呼吸の土壤深さ分布を計算した。そしてトレーニング法を用いた根呼吸量の測定結果と比較を行い、計算結果の妥当性を評価した。

2 現地観測及び室内実験

2-1 観測サイト

観測は2008年の6,7,11月と2009年の6月に行った。観測地は愛知県豊田市稻武町(35°12'N, 137°24'E)、名古屋大学生命農学研究科・農学部付属演習林(フィールド教育支援センター稻武フィールド)内にあるカラマツ林である。カラマツは植林されたものであり、樹齢は約45年、樹高は約23mである。観測地の標高は約1010m、アメダス(地域気象観測システム、標高505m、気象庁)によると、2008年の稻武町の年降水量は1884.5mm、平均気温は11.9°Cであった。

2-2 土壤呼吸 CO_2

土壤呼吸 CO_2 のフラックス及び炭素同位体比の測定には容積144Lのチャンバー(以下、144Lチャンバー)を用いて密閉チャンバー法⁴⁾と通気チャンバー法⁵⁾を併用して測定した。144Lチャンバーは上面に取り外しが可能なふたが付いた直方体型開口容器であり、観測サイトへ設置するときに土壤深さ2cmまで挿入した。測定時以外はチャンバー内外の状態を等しく保つために、上面のふたを外しておいた。チャンバー内に土壤呼吸を蓄積させる間はふたを被せ、チャンバー内に濃度差が生じないように内部に取り付けた小型ファンにより空気を攪拌した。チャンバー内の空気は土壤表面から20cm上部の空気採取口から流量3L min⁻¹で5min採取した。蓄積開始前に土壤表面及び土壤深さ5cmの土壤温度を測定した。

土壤呼吸 CO_2 フラックス $F[\text{gC m}^{-3} \text{s}^{-1}]$ は、チャンバー内の CO_2 濃度が時間とともに一次関数的に増加すると仮定してチャンバー内の CO_2 濃度の時間変化から求められる。土壤呼吸 CO_2 フラックスの算出式を以下の式(2-1)に示す。

$$F = \frac{V}{S} \cdot \frac{\Delta C}{\Delta t} \quad (2-1)$$

ここで、 V はチャンバー内容積[m³]、 A はチャンバーの開口部面積[m²]、 Δt はチャンバーの密閉時間[s]、 ΔC は CO_2 濃度の増加量[gC m⁻³]である。

土壤呼吸 CO_2 の炭素同位体比は、144Lチャンバーによって採取された空気の CO_2 濃度と炭素同位体比から求められる。チャンバー密閉後に蓄積された CO_2 が土壤呼吸によるものであると仮定すると、質量保存則から式(2-2)が導かれる。

$$\delta C_{res} = \frac{\delta C_f \cdot C_f - \delta C_0 \cdot C_0}{C_f - C_0} \quad (2-2)$$

ここで、 C は CO_2 濃度 [gC m^{-3}]、 δC は δ 値表示の炭素同位体比 [‰] である。添え字の 0, f , res はそれぞれ密閉前のチャンバー内空気、密閉後のチャンバー内空気、及び土壤呼吸を表す。

2-3 土壤中 CO_2

本研究では土壤中 CO_2 の濃度及び炭素同位体比の測定を目的としているので、土壤中空気採取時に同位体効果の生じにくいグラブサンプリング法を使用した。サンプリング管は、2004 年 4 月に観測サイトに設置したもの用いた。サンプリング管は土壤深さ 10 cm、20 cm、40 cm、60 cm、80 cm の 5 深度に採取口が位置していた。土壤中空気を採取する際、始めにゴム栓およびサンプリング管内に残存している空気を廃棄するために、シリソジで 5 mL 空気を抜き取り、その後シリソジで土壤空気を 10 cm、20 cm では 200 mL、40 cm、60 cm、80 cm では 100 mL 採取し、容積 5 L のアルミニウムバックに移した。採取した空気の CO_2 濃度及び炭素同位体比を測定した。

2-4 トレンチング法

土壤呼吸 CO_2 の発生源には土壤有機物分解と根呼吸の 2 つの要素が含まれている。トレンチング法とは土壤中に存在している植物の根を破壊することで土壤呼吸 CO_2 中の根呼吸の寄与を 0 とする方法である。

トレンチング法を用いた土壤呼吸 CO_2 の観測を行うために観測サイト内に直径 14.5 cm の塩化ビニル製円筒管を設置した(以下、トレンチトプロット)。同時に、トレンチトプロットと比較するため、トレンチングを行っていない測定点(以下、コントロールプロット)として、直径 10 cm の塩化ビニル製円筒管を土壤に 4cm の深さまで挿入して設置した。土壤呼吸 CO_2 フラックスの測定には容積 1L のチャンバーと非分散型赤外吸光式 CO_2 濃度分析計 (LI-840 CO₂ Gas Analyzer, LI-COR) 及びポンプが一体となった測定システムを用いた。それぞれの測定地点で土壤表面及び土壤深さ 5cm の土壤温度を測定した。

3 モデル計算

3-1 ボックスモデルの概要

土壤呼吸の構成要素は大きく分けて土壤有機物分解と根呼吸の二つに分けられる。土壤有機物分解の活性は土壤深さ、土壤温度、土壤含水率、 CO_2 濃度といった環境因子に依存することが知られている⁶⁾。しかし、根呼吸は土壤温度、土壤含水率に対して依存性を持つことが報告⁷⁾されているだけで、定量評価には至っていない。そこで本研究では、¹² CO_2 および ¹³ CO_2 の土壤中の輸送についての一次元ボックスモデルを作成し、根呼吸の土壤深さに対する依存性を解析、評価した。そしてトレンチング法を用いた観測結果との比較から計算結果の妥当性を検討した。更に、モデルの計算精度を評価するために土壤呼吸 CO_2 フラックスと SOMD- CO_2 生成率についての感度解析を行った。

土壤中で生成された CO_2 は拡散により上下方向に輸送される。土壤を深さ毎に層(以下、ボックス)に区切り、任意のボックス i についての ¹² CO_2 および ¹³ CO_2 の収支方程式を式(3-1)、式(3-2)に示す。

$$a_i \cdot \frac{dC_i}{dt} = (C_{i-1} \cdot R_{i-1}^- + C_{i+1} \cdot R_{i+1}^+) - \left\{ C_i \cdot (R_i^+ + R_i^-) \right\} + (S_{SOMD,i} + S_{root,i}) \cdot d_i \quad (3-1)$$

$$a_i \cdot \frac{\delta^{13}C_i \cdot dC_i}{dt} = (\delta^{13}C_{i-1} \cdot C_{i-1} \cdot R_{i-1}^- + \delta^{13}C_{i+1} \cdot C_{i+1} \cdot R_{i+1}^+) - \left\{ \delta^{13}C_i \cdot C_i \cdot (R_i^+ + R_i^-) \right\} \\ + (\delta^{13}C_{SOMD,i} \cdot S_{SOMD,i} + \delta^{13}C_{root} \cdot S_{root,i}) \cdot d_i \quad (3-2)$$

ここで a_i はボックス i の気層率 [$\text{m}^3 \text{ m}^{-3}$]、 C_i はボックス i 中の CO_2 濃度 [gC m^{-3}]、 $S_{SOMD,i}$ はボックス i での SOMD- CO_2 生成率 [$\text{gC g}^{-1} \text{ s}^{-1}$]、 $S_{root,i}$ はボックス i での根呼吸の CO_2 生成率 [$\text{gC g}^{-1} \text{ s}^{-1}$]、 d_i はボックス i での乾燥バルク密度 [g m^{-3}]、 $\delta^{13}C_i$ はボックス i 中の CO_2 の $\delta^{13}\text{C}$ 値 [%]、 $\delta^{13}C_{SOMD,i}$ はボックス i での SOMD- CO_2 の $\delta^{13}\text{C}$ 値 [%]、 $\delta^{13}C_{root}$ は根の $\delta^{13}\text{C}$ 値 [%]、 R_{i+} はボックス i から上方向への交換率 [s^{-1}]、 R_i^- はボックス i からの下方向への交換率 [s^{-1}] である。

式(3-1)、式(3-2)中の未知数は、 $S_{root,i}$ 、 R_{i+} 、 R_{i-} であり、方程式二つに対して未知数が五つ存在し、解析的に解くことは不可能である。以下の仮定及び境界条件を導入することで方程式中の未知数を二つとし、 $^{12}\text{CO}_2$ と $^{13}\text{CO}_2$ の方程式を連立させて上端のボックスから S_{root} について逐次計算を行った。

仮定 1. 土壤中 CO_2 は定常状態 ($dC/dt = 0$)

仮定 2. 隣接したボックス同士の CO_2 交換率は同じ ($R_{i+}^+ = R_{i-1}^- = R_i$)

境界条件 1. 大気-土壤間の正味の CO_2 輸送量は土壤表面 CO_2 フラックスと等しい

境界条件 2. 最下端のボックスでの CO_2 の下方向への輸送はなし

3-2 モデルへの入力値

土壤中 CO_2 濃度及びその $\delta^{13}\text{C}$ 、境界条件として使用した土壤呼吸 CO_2 フラックスは、現地観測により得られた測定結果を使用した。

SOMD- CO_2 の生成率は Kawai(2008)らの経験式モデル⁶⁾を用いて、ボックスの深さごとの CO_2 生成率を入力値とした。SOMD- CO_2 の $\delta^{13}\text{C}$ は Kawai(2008)らの実験方法⁶⁾に基づいて室内実験を行い、その測定結果を入力値として使用した。

4 計算結果

根呼吸の CO_2 生成率の土壤深さ分布の計算結果を Fig. 1 に示す。

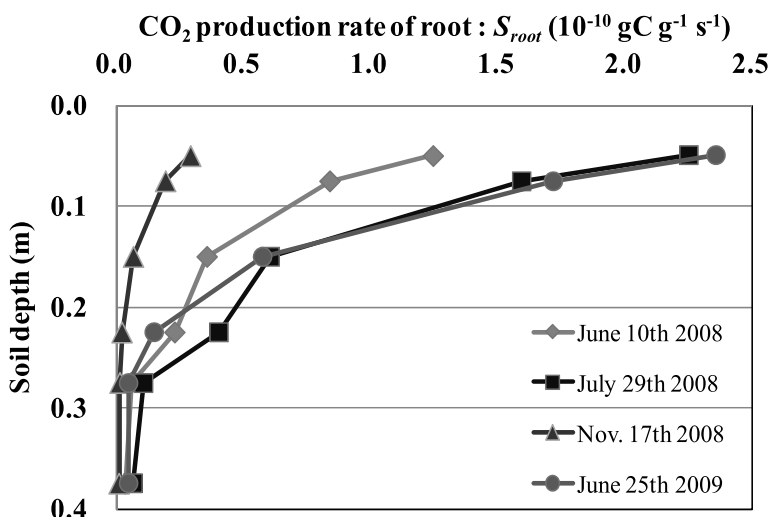


図 1 根呼吸率の土壤深さ分布の推定結果

Fig. 1 Estimated depth profile of root respiration rate.

Fig. 1 より、根呼吸の CO_2 生成率は土壤深さに対して減少傾向にあることが示された。さらに、表層 10 cm 以浅において、根呼吸全体のうちの 80 %以上を占める結果となった。

Table 1 にトレーニング法を用いた土壤呼吸 CO_2 フラックスの観測結果と観測及び計算により得られた土壤呼吸 CO_2 フラックスに対する根呼吸寄与割合の結果を示す。ここで、根呼吸寄与割合 R_{root} は以下の式(3-3)で表わされる。

$$R_{root} = \frac{\int S_{root,i} dz}{\int (S_{root,i} + S_{SOMD,i}) dz} \quad (3-7)$$

表 1 土壤呼吸 CO_2 フラックスの測定結果及び根呼吸寄与割合の推定結果Table 1 Observed and calculated fractional contribution of root respiration R_{root} to total soil respiration.

Date in 2008	Soil respired CO_2 flux ($10^{-5} \text{ gC m}^{-2} \text{ s}^{-1}$)				F_{root} ($10^{-5} \text{ gC m}^{-2} \text{ s}^{-1}$)		R_{root}	
	Control plot		Trenched plot		Observation	Estimation	Observation	Estimation
10 June	1.4	± 0.6	0.9	± 0.3	0.52	0.87	0.36	0.34
29 July	3.8	± 2.1	2.7	± 0.7	1.15	1.55	0.30	0.31
17 Nov.	0.8	± 0.3	0.7	± 0.2	0.08	0.29	0.10	0.25

Table 1 より、実測・計算ともに根呼吸量は 7 月に最大の値となり、11 月に最小の値となった。根呼吸寄与割合は実測・計算ともに 6 月に最大の値となり、11 月に最小の値となった。これらの結果は細根の多い土壤表面で根呼吸量が多い、土壤温度の高い夏季に根呼吸量が多い、植物の生長の

著しい初夏に根呼吸寄与割合が大きいという根呼吸の特徴⁸⁾と一致するものであった。

4 結論

森林床中の根呼吸量評価を行うために、土壤中 CO₂輸送の一次元ボックスモデルを考案し、根呼吸の CO₂生成率の土壤深さ分布を明らかにした。根呼吸の CO₂生成率は土壤深さに対して減少傾向にあることが示された(**Fig. 1**)。計算結果とトレーニング法を用いた現地観測の結果の比較では、季節変動の再現を含めおおむね一致した結果であった(**Table 1**)。計算結果はこれまでに報告されている根呼吸の特徴と矛盾しないものであった。

謝辞

名古屋大学年代測定総合研究センターの中村 俊夫教授、小田 寛貴助教授、池田 晃子技官、太田 友子氏には MASS やその他諸々の測定機器の使用方法の指導等、様々なご協力をありがとうございました。ここに深く感謝いたします。

参考文献

- 1) Annual Report on Atmospheric and Marine Environment Monitoring No.7 Observation Results for 2005.
Japan Meteorological Agency. 2007.
- 2) IPCC. A Report of Working Group 1 of the Intergovernmental Panel on Climate Change, Climate Change 2007. The Scientific Basis, Cambridge University Press. 2007.
- 3) Man-sung Yim, Francois Caron. Life cycle and management of carbon-14 from nuclear power generation. Progress in Nuclear Energy, volume 48, 2006 , p2-36,
- 4) Yagi K. and K. Minami. Effect of organic matter application on methane emission from some Japanese paddy fields. Soil sci. Plant Nutr., Volume 36, (1990), p 599-610.
- 5) J. Koarashi, H. Amano, M. Andoh, T. Iida and J. Moriizumi. Estimation of ¹⁴CO₂ flux at soil-atmosphere interface and distribution of ¹⁴C in forest ecosystem. Environmental Radioactivity, Volume 60, (2002) , p249-261.
- 6) S.Kawai, H.Yamazawa, J.Moriizumi, W.Liu, T.Iida, Analysis of carbon isotope ratio variation in CO₂ efflux from forest floor, Journal of Nuclear Science and Technology, Supplement 5, Atomic Energy Society of Japan, 2008, p152-157
- 7) D.R.BRYLA,T.J.BOUMA,U.HARTMOND and D.M.EISSENSTAT. Influence of temperature and soil drying on respiration of individual roots in Citrus : integrating greenhouse observations into a predictive model for the field. Plant, Cell and Environment 24, (2001) , p781-790
- 8) Noboru Karizumi. Illustration of tree roots. (1979).

要旨 土壤呼吸 CO₂の放出は全球的な炭素循環と環境中の ¹⁴C 移行において、加えて、大気中 CO₂の増加による全球的な気候変動を予測するためにも、非常に重要な要素である。土壤中には CO₂を生成する 2 つの要素、土壤有機物分解と根呼吸が存在する。前者は比較的良く理解されつつある一方、根に由来する CO₂放出は十分な評価がなされていない。本研究の目的は、根呼吸速度の深さ分布を評価することである。ボックスモデルを開発し、計算結果の正確性をトレーニング法による土壤呼吸 CO₂ フラックス観測値

と比較した。計算結果は、深いほど小さい根呼吸速度分布を示した。これは根呼吸を支配する細根の分布による。根呼吸による CO_2 フラックスの計算結果は観測結果とほぼ一致した。